

Aspergillus niger SFN-4160I 생산하는 Xylanase I의 정제 및 특성

성찬기* · 이상원** · 박석규† · 전순실

*중앙대학교 화학과

**경상대학교 식품공학과

순천대학교 식품영양학과

Purification and Characterization of Xylanase I from Aspergillus niger SFN-416

Chan-Ki Sung*, Sang-Won Lee**, Seok-Kyu Park† and Soon-Sil Chun

*Dept. of Chemistry, Chung-Ang University, Seoul 156-757, Korea

**Dept. of Food Science and Technology, Gyeongsang National University, Chinju 660-701, Korea

Dept. of Food and Nutrition, Sunchon National University, Sunchon 540-742, Korea

Abstract

Xylanase(EC. 3. 2. 1. 8) was purified approximately 10.2 fold from *Aspergillus niger* SFN-416 by a sequential process of ammonium sulfate fractionation, Sephadex G-100 gel filtration and DEAE-Sephadex ion exchange chromatography. Molecular weight of the enzyme was approximately 31,000 daltons. The optimum pH and temperature of the enzyme activity were 3.5 and 50°C, respectively. The enzyme activity was enhanced by Fe²⁺ and Mn²⁺, and inhibited by Hg²⁺. The activity was decreased by addition of methanol, ethanol, isopropanol and 1-butanol at a concentration of 10%(v/v).

Key words: *Aspergillus niger*, xylanase, purification, characterization

서 론

고등식물 세포벽의 주성분 중에 하나인 xylan은 hemi-cellulose의 주성분으로 식물 세포벽의 cellulose와 lignin 성분과 결합되어 있다. Xylan은 대체 에너지원인 알코올 생산의 기질로서 주목을 받고 있는 중요한 biomass 자원이다.

Xylan은 많은 세균과 곰팡이들에 의해서 생성되는 endo-1,4-xylanase(EC 3.2.1.8)와 β-xylosidase(EC 3.2.1.37)의 동시작용에 의해 가수분해 되어진다(1). 즉 이들 미생물들은 acetyl, arabinosyl과 glucuronosyl 잔기들로 치환된 β-1,4-D-xylopyranoside 잔기들의 선형 polymer인 xylan의 β-1,4결합을 절단하는 xylanase를 생산하며, 그외 α-glucuronidase, α-arabinofuranosidase 및 esterase 등의 다양한 효소들을 생성하므로 xylan을 탄소원으로 이용하여 성장한다(2-5).

Xylanase는 식물체의 질병인자로서의 역할은 아직 명확하게 알려져 있지는 않지만, 숙주와 질병의 상관

관계에서의 연관 가능성에 대하여 몇가지 보고들이 있다(6-8). 미생물의 xylanase는 펄프와 제지산업에 응용하기 위해 상당한 관심을 가지고 있다. 왜냐하면 효과적인 생물표백제를 선택하므로서 chloride와 chlorine dioxide 같은 독성 화학제품의 소비를 상당히 감소시킬 수 있는 원인이 된다(9).

본 연구에서는 제지산업, 식품산업, 환경분야, 알코올생산 및 의약분야 등에 상당히 관련이 많은 xylanase를, 유기용매에 비교적 안정한 β-glucosidase를 우수하게 생산하는 균주로서 분리·동정한 바 있는(10) *Aspergillus niger* SFN-416으로부터 생산하여 그 정제 특성과 효소 성질을 조사하였다.

재료 및 방법

사용균주 및 배지

공시균주는 순천대학교 공업기술연구소에 보관중인 *Aspergillus niger* SFN-416(10)을 사용하였다. 보

*To whom all correspondence should be addressed

존 및 포자형성용 배지는 각각 potato dextrose agar (PDA) 및 malt extract agar(MEA) 배지를 사용하였으며, 효소생성의 기본배지(11)는 KH_2PO_4 2.0g, $(\text{NH}_4)_2\text{SO}_4$ 1.4g, urea 0.3g, CaCl_2 0.3g, $\text{MgSO}_4 \cdot 7\text{H}_2\text{O}$ 0.3g, Bacto peptone 1.0g, carboxymethyl cellulose(CMC) 10.0g, trace solution 1.0ml($\text{FeSO}_4 \cdot 7\text{H}_2\text{O}$ 0.5%, $\text{MnSO}_4 \cdot 7\text{H}_2\text{O}$ 0.16%, $\text{ZnSO}_4 \cdot 7\text{H}_2\text{O}$ 0.14%, CoCl_2 0.2%), tween 80 2.0g, DW 1.0L로 조제하여 사용하였다.

균주 배양 및 조효소액 조제

효소 생산용 액체배지 10ml를 L-type 시험판에 넣어 살균(121°C, 10min)하고, 포자현탁액 0.5ml를 무균 상 내에서 접종하여 30°C에서 5일 동안 진탕배양(120 rpm, storke 5.4cm)한 다음, 배양액을 8,000rpm에서 20분간 원심분리(Vision, VS-15-CF) 하였다. 그 상정액은 -20°C로 냉각시킨 ethanol를 가하여 얻은 70% ethanol (v/v) 침전물을 8,000rpm에서 20분간 원심분리시킨 후, 0.02M acetate buffer(pH 4.0)에 용해시켜 조효소로 사용하였다.

활성도 및 단백질 정량

효소 활성 측정은 0.05M sodium phosphate buffer (pH 5.5)에 용해한 1% xylan를 효소와 혼합한 다음, 50°C에서 10분간 반응시킨 후 생성된 환원당을 DNS 법(12)을 이용하여 510nm(UV/VIS spectrophotometer, Hewlett Packard 8452A)에서 흡광도를 측정하였다. 효소 활성은 50°C에서 1분간 1 μmole 의 환원당을 생성하는 효소량을 1unit로 표시하였다.

단백질의 농도는 Lowry 등(13)의 방법에 따라 측정하였으며, 이 때 표준단백질로 bovine serum albumin 을 사용하여 750nm에서 흡광도를 측정하고 표준곡선을 작성하여 정량하였다.

정제

조효소를 4°C에서 ammonium sulfate로 30% 포화시켜 1시간 동안 방치시킨 후, 8,000rpm에서 10분 동안 원심분리하고 상층액을 모아 4°C에서 ammonium sulfate로 90% 포화시켜 하룻밤 방치시킨 후, 4°C에서 12,000 rpm으로 30분간 원심분리하여 얻은 침전물을 0.02M acetate buffer(pH 4.0)로 용해시켰다.

Sephadex G-100을 0.02M acetate buffer(pH 4.0)로 상온에서 72시간 동안 부풀린 후 분류관(10×900mm)에 충전시키고 0.02M acetate buffer(pH 4.0)로 평형시킨 후, ammonium sulfate(30~90%)로 포화시켜 부분

정제된 효소를 0.02M acetate buffer(pH 4.0)로 용출시켰다. 이 때 유출 속도는 3ml/hr로 하였고, 용출액은 3ml씩 각 시험관에 받았다. 이의 각 용출액은 280nm에서 단백질을 확인한 다음, 510nm에서 효소 활성도를 측정하여, 활성도가 큰 부분만을 모아 냉동건조기로 놓축시켜 다음 정제과정의 효소로 사용하였다.

DEAE-Sephacel은 0.02M acetate buffer(pH 4.0)로 씻은 다음, 분류관(150×280mm)에 충전시키고 0.02M acetate buffer(pH 4.0)로 평형을 유지시켰다. 이 분류관은 Sephadex G-100 column chromatography에 의하여 모든 효소를 흡착시킨 후 0~0.5M NaCl로 linear gradient하여 용출시켰다. 이 때 용출속도는 12ml/hr로 하였고, 용출액은 3ml씩 각 시험관에 받아서 단백질과 효소의 활성도를 측정한 다음, 활성도가 큰 분획만을 모아 이를 정제된 효소액으로 사용하였다.

분자량 측정

정제된 효소의 순도 및 분자량을 측정하기 위해서 SDS-polyacrylamide slab gel 전기영동을 Laemmli의 방법(14)으로 행하였다. 이 때 10% polyacrylamide gel을 사용하여 25mA로 3시간 동안 전기영동하였다. 영동이 끝난 gel은 0.25% coomassie brilliant blue R-250 으로 염색한 다음 탈색시켜 정제상태와 분자량을 관찰하였다.

분자량을 결정하기 위하여 표준단백질(BIO-RAD)을 함께 전기영동하여 그들의 상대적 이동거리의 값으로 표준곡선을 작성하여 분자량을 결정하였다. 표준단백질로는 α -lactalbumin(14,200 daltons), trypsin inhibitor(20,100 daltons), trypsinogen(24,000 daltons), carbonic anhydrase(29,000 daltons), glyceraldehyde-3-phosphate dehydrogenase(36,000 daltons), albumin egg(45,000 daltons), albumin bovine(66,000 daltons)을 사용하였다.

결과 및 고찰

Xylanase의 정제

Aspergillus niger SFN-416으로부터 생성한 xylanase는 70% ethanol(v/v) 침전물, ammonium sulfate (30~90%)로 얻은 효소를 Sephadex G-100(Fig. 1) 및 DEAE-Sephacel column chromatography(Fig. 2)하여 xylanase 활성을 나타내는 두 종류의 peak를 얻었는데 이들 중 앞쪽 peak(xylanase I)를 이후의 실험에 이용하였으며, 뒤쪽 peak(xylanase II)는 현재 실험 중에 있다.

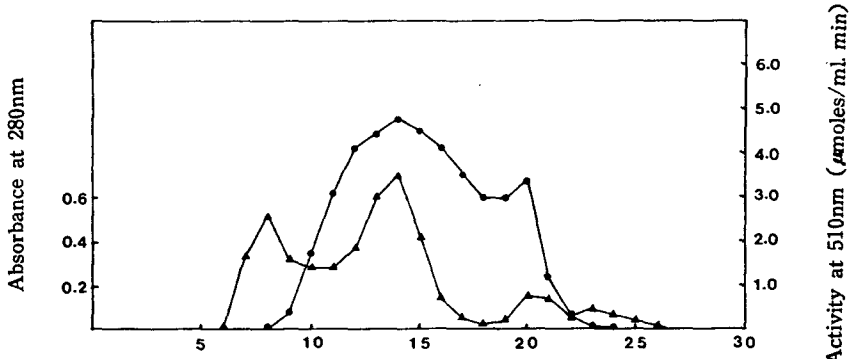


Fig. 1. Elution profile of xylanase I on Sephadex G-100 column chromatography (10×900mm). An aliquot of each fraction was assayed for xylanase I activity (●-●) and protein (▲-▲).

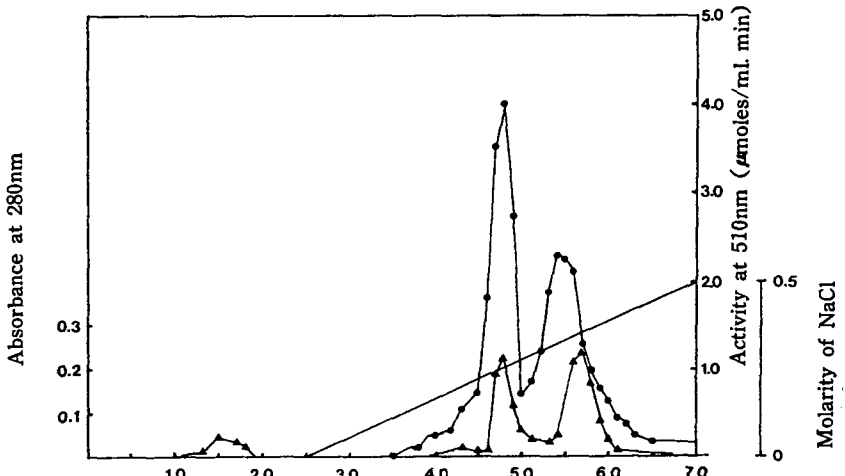


Fig. 2. Elution profile of xylanase I on DEAE-Sephacel column chromatography (150×280mm). An aliquot of each fraction was assayed for xylanase I activity (●-●) and protein (▲-▲). A linear gradient indicated by the solid line.

각 단계별 specific activity는 조효소에서 8.8units/mg protein, ammonium sulfate 침전법 9.5units/mg protein, Sephadex G-100 17.4units/mg protein 및 DEAE-Sephacel 89.9units/mg protein으로 각각 1.2, 2.0, 10.2배 정제되었다.

한편, 배와 죠(15)은 알칼리성 용액에서 높은 효소 활성을 나타내는 *Bacillus stearothermophilus*의 specific acptivity가 17.68units/mg으로 27.63배의 정제도를 보고하였고, Peltonen 등(16)은 *Bipolaris sorokiniana*의 specific activity가 125nkat/mg으로 13배의 정제도를, Li 등(17)은 *Aureobasidium pullulans* Y-2311-1의 specific activity가 2,440units/mg으로 5.8배 정제도를 보고한 바 있다.

분자량

정제된 xylanase I는 SDS-polyacrylamide slab gel

전기영동을 하여 순도 및 분자량을 측정한 결과(Fig. 3), *Aspergillus niger* SFN-416^o로 부터 생성한 xylanase I의 분자량은 31,000 daltons으로 확인되었다. 한편, 배와 죠(15)은 *B. stearothermophilus*가 생산하는 xylanase의 분자량은 170,000 daltons으로, Braun과 Rodrigues (18)은 *Erwinia chrysanthemi*가 생산하는 xylanase의 분자량은 42,000 daltons, 조 등(19)의 *Penicillium verruculosum*이 생산하는 D-xylanase의 분자량은 35,000 daltons으로 보고하였다.

온도의 영향

Xylanase I의 활성에 미치는 온도효과를 측정하기 위하여 0.05M sodium phosphate buffer(pH 5.5)에 xylan을 1% 되게 용해시키고, 이 용액을 취하여 온도를 20°C에서 70°C까지 변화시키면서 정제된 효소액을 하

Table 1. The purification of xylanase I from *Aspergillus niger* SFN-416

Purification step	Volume (ml)	Total activity (units)	Total protein (mg)	Specific activity (units/mg protein)	Purification (fold)	Yield (%)
Crude extract	125.0	858.4	97.5	8.8	1.0	100.0
$(\text{NH}_4)_2\text{SO}_4$ (30~90%)	3.6	436.8	45.9	9.5	1.2	50.9
Sephadex G-100	60.0	415.2	23.8	17.4	2.0	48.4
DEAE-Sephadex	12.0	98.9	1.1	89.9	10.2	11.5

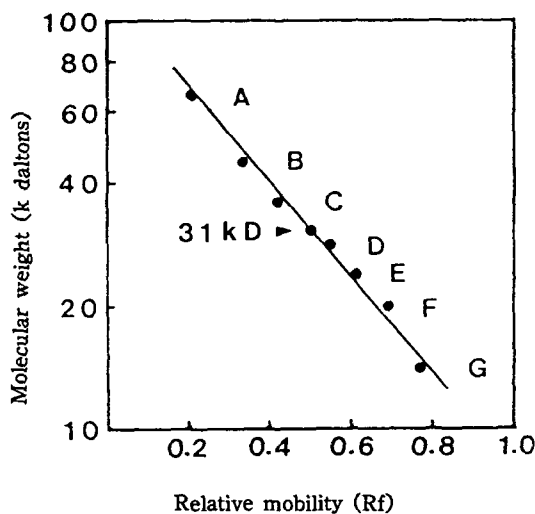


Fig. 3. Molecular weight determination of xylanase I from *Aspergillus niger* SFN-416 by SDS-PAGE. A ; Albumin, bovine(66,000 daltons), B ; Albumin, egg(45,000 daltons), C ; Glyceraldehyde-3-phosphate dehydrogenase(36,000 daltons), D ; Carbonic anhydrase(29,000 daltons), E ; Trypsinogen(24,000 daltons), F ; Trypsin inhibitor(20,100 daltons), G ; α -Lactalbumin(14,200 daltons)

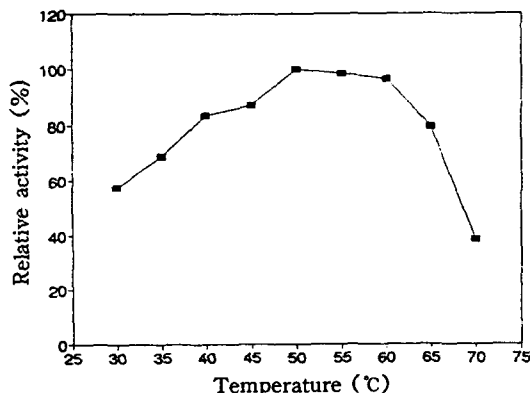


Fig. 4. Effect of temperature on xylanase I activity of *Aspergillus niger* SFN-416.

The reaction mixture, consisted of 0.25ml enzyme solution and 0.75ml 1% xylan, was incubated at 30~70°C for 10min. The maximum activity was expressed as 100%.

고 활성을 측정한 결과(Fig. 4), 50°C에서 최대 활성을 보였다. Peltonen 등(16)은 *B. sorokiniana*에서 생산되는 xylanase의 최대 활성온도가 70°C로서 상당히 높은 온도임을 보고하였고, 배와 최(15)은 *B. stearothermophilus*의 최적 반응온도가 55°C로, Li 등(17)은 *A. pullulans* Y-2311-1의 xylanase의 최대 활성온도가 54°C로서 본 xylanase I의 최적 온도와 비슷한 것으로 나타났다.

pH의 영향

Xylanase I의 활성에 미치는 최적 pH를 측정하기 위하여 citrate-phosphate buffer(pH 3.0~6.5), phosphate buffer(pH 7.0~8.0)를 조제하여 xylan을 1% 되게 용해시켜, 이 용액을 취하여 정제된 효소액을 가한 다음 그 활성을 측정한 결과(Fig. 5), pH 3.5 부근에서 최적 활성을 나타내었다. Morales 등(20)은 *Bacillus polymyxa*로부터 생성된 alkaline xylanase의 X₃₄C가 45°C, pH 6.0~7.0 사이에서 최적 활성을, X₃₄E가 50°C, pH 4.0~6.0 사이에서 최대 활성을, X₂₂가 55°C, pH 6.0~7.0 사

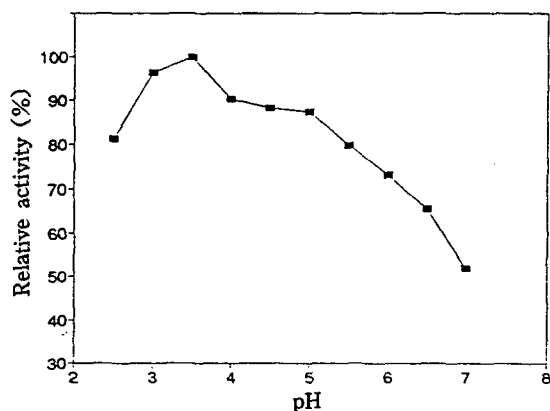


Fig. 5. Effect of pH on xylanase I activity of *Aspergillus niger* SFN-416.

The reaction mixture, consisted of 0.25ml enzyme solution and 0.75ml 1% xylan, was incubated at 50°C for 10min. The maximum activity was expressed as 100%.

pH 3.0~6.5: Citrate-phosphate buffer
pH 7.0~8.0: Sodium phosphate buffer

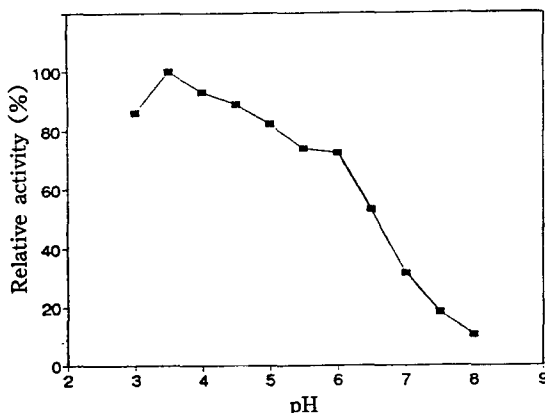


Fig. 6. Effect of pH stability on xylanase I of *Aspergillus niger* SFN-416.

The reaction mixture, consisted of 0.25ml enzyme solution(preincubated for 1hr at each pH) and 0.75ml 1% xylan, was incubated at 50°C for 10min. The maximum activity was expressed as 100%. pH 3.0~6.5: citrate-phosphate buffer
pH 7.0~8.0: sodium phosphate buffer

이에서 최적 활성을 가지는 것으로 보고 하였고, 배 등(15)은 *B. stearothermophilus*로부터 생산되는 xylanase는 pH 5.0~7.0 사이에서 비교적 안정한 것으로 보고 하였고, Braun과 Rodrigues(18)는 *E. chrysanthemi*로부터 생성된 xylanase는 pH 5.5에서 최적 활성을 가지는 것으로 보고하였다.

본 xylanase I은 이들 효소 보다 낮은 pH에서 최적 활성을 나타내는 것으로 생각된다. pH 안정성을 측정하기 위하여 citrate-phosphate buffer(pH 3.0~6.5), phosphate buffer(pH 7.0~8.0)를 조제하고, 이 용액을 취하여 정제된 효소액을 가하고 50°C에서 1시간 동안 방치한 후 1% xylan를 가하여 활성을 측정한 결과(Fig. 6), pH 3.5에서 최대 활성을 보이고, pH 6.0 이상에서 활성이 급격히 감소함을 보였다. Braun과 Rodrigues(18)는 *E. chrysanthemi*로부터 생성된 xylanase가 상당히 넓은 pH에서 안정함을 보였으며, 배와 쇠(15)은 *B. stearothermophilus*가 생산하는 xylanase는 pH 5.0~7.0 사이에서 비교적 안정한 것으로 보고 하였고, 김 등(21)은 *Bacillus* sp. N-25가 생산하는 xylanase는 pH 6.0~8.0 사이에서 안정한 것으로 보고하였다.

금속이온의 영향

금속이온들이 xylanase I 활성에 미치는 영향을 알아보기 위하여 0.05M sodium phosphate buffer(pH 5.5)에 xylan을 1% 되게 용해시키고, 이 용액에 각 금속이온들의 농도를 2mM 되게 하여 50°C를 유지시키면서

Table 2. Effect of metal ions on xylanase I activity of *Aspergillus niger* SFN-416

Ions	Concentration(mM)	Relative inhibition(%)
None	0	100
K ⁺	2	92.2
Na ⁺	2	92.5
Ca ²⁺	2	97.0
Hg ²⁺	2	18.5
Sn ²⁺	2	94.0
Mg ²⁺	2	83.6
Cu ²⁺	2	64.8
Fe ²⁺	2	117.0
Mn ²⁺	2	129.9
Zn ²⁺	2	77.9

The reaction mixture, consisted of 0.25ml enzyme solution and 0.75ml 2mM metal ions in 1% xylan, was incubated at 50°C for 10min. The maximum activity was expressed as 100%

정제된 효소액을 가하여 활성을 측정한 결과(Table 2), 대부분의 금속이온에 효소활성이 저해되었고, 특히 Hg²⁺는 18.5%의 가장 낮은 상대활성을 나타내었다. 그렇지만 Fe²⁺는 117.0%, Mn²⁺는 129.9%로 효소활성을 증가시켰다. 배와 쇠(15)은 *B. stearothermophilus*가 생산하는 xylanase는 Mn²⁺와 Co²⁺에서 효소활성을 증가시키고, Hg²⁺는 저해효과를 나타내는 것으로 보고한 것과 비슷한 결과가 본 연구에서도 나타났다. Braun과 Rodrigues(18)은 *E. chrysanthemi*에서 생성되는 xylanase가 1mM Hg²⁺, 1mM Ag⁺에서 완전히 저해되는 것으로, Park 등(22)은 알칼리내성 *Bacillus* sp. YA-14에서 생성되는 xylanase는 Hg²⁺에 의해 강하게 저해됨을, 김 등(21)은 *Bacillus* sp. N-25에서 생성되는 xylanase는 Hg²⁺, Ag⁺, Mn²⁺에 의해 저해됨을 보고하였다.

유기용매의 영향

유기용매가 xylanase I 활성에 미치는 영향을 알아보기 위하여 0.05M sodium phosphate buffer(pH 5.5)에 methanol, ethanol, isopropanol 및 1-butanol 각각의 농도를 10%(v/v) 되게 하여, xylan을 1% 되게 용해시키며, 50°C를 유지시키면서 정제된 효소액을 가하여 활성을 측정한 결과(Table 3), 모두 낮은 활성을 나타내었고, 특히 1-butanol에서 상대활성이 18.5%로 가장 낮았다.

Xylanase I 안정성에 미치는 영향을 알아보기 위하여 0.05M sodium phosphate buffer(pH 5.5)에 methanol, ethanol, isopropanol 및 1-butanol 각각의 농도를 10%(v/v) 되게 하여 정제된 효소액을 가하여 50°C를 유지시키면서 30분간 방치한 후 1% xylan를 가하여 활성

Table 3. Effect of organic solvents on xylanase I activity of *Aspergillus niger* SFN-416

Organic solvents	Concentration(%)	Relative activity(%)
None	0	100
Methanol	10	74.3
Ethanol	10	68.4
Isopropanol	10	67.5
1-Butanol	10	18.5

The reaction mixture, consisted of 0.25ml enzyme solution containing 10% organic solvent and 0.75ml 1% xylan, was incubated at 50°C for 10min. The maximum activity was expressed as 100%

Table 4. Effect of organic solvents on stability of xylanase I of *Aspergillus niger* SFN-416

Organic solvents	Concentration(%)	Relative activity(%)
None	0	100
Methanol	10	72.2
Ethanol	10	70.0
Isopropanol	10	68.9
1-Butanol	10	67.0

The reaction mixture, consisted of 0.25ml enzyme solution(preincubated for 30min. in 10% organic solvent) and 0.75ml 1% xylan, was incubated at 50°C for 10min. The maximum activity was expressed as 100%

을 측정한 결과(Table 4), 모두 낮은 상대활성을 나타내었다. 이상의 결과로 부터 *Aspergillus niger* SFN-416이 생산하는 xylanase I은 β -glucosidase(10) 보다 유기용매에 안정하지 않은 것으로 생각된다.

요 약

Aspergillus niger SFN-416으로부터 생성한 xylanase I를 분리·정제하여 특성을 조사하였다. *Aspergillus niger* SFN-416의 배양액을 ethanol(70%) 침전, $(\text{NH}_4)_2\text{SO}_4$ (30~90%) 침전, Sephadex G-100 chromatography 및 DEAE-Sephadex ion chromatography 등의 정제과정을 거친 결과, 10.2배 정제되었고, 정제효소의 최적 활성온도는 50°C였다. 최적 pH는 3.5이었고, pH 안정성은 6.0 이상에서 활성이 급격히 감소하였다. 또한 금속이온에 대한 효소의 활성은 대부분 억제를 보였고, 특히 Hg^{2+} 는 18.5%로 가장 낮은 상대활성을 보였지만, Fe^{2+} 는 117.0%, Mn^{2+} 는 129.9%로 오히려 효소활성이 증가되었다. 정제 효소의 분자량은 SDS-PAGE에 의하여 31,000 daltons이었으며, 유기용매에 대한 활성과 안정성은 10%의 methanol, ethanol, isopropanol 및 1-butanol에 대하여 모두 낮은 활성을 나타내어 유기용매에는 안정하지 않는 것으로 생각된다.

문 헌

- Dekker, R. F. H. and Richards, G. N. : Purification, properties and mode of action of hemicellulase II by *Ceratocystis paradoxa*. *Carbohydrate Research*, **42**, 107(1975)
- Biely, P., Puls, J. and Schneider, H. : Acetyl xylan esterases in fungal cellulolytic system. *FEBS Lett.*, **186**, 80(1985)
- Dekker, R. F. H. : Biodegradation of the hemicelluloses. In "Biosynthesis and biodegradation of wood components" Higuchi, T.(ed.), Academic Press, Inc., Orlando, Fla., p.505(1985)
- Thomson, J. A. : Molecular biology of xylan degradation. *FEMS Microbiol. Rev.*, **104**, 65(1993)
- Woodward, J. : Xylanase : functions, properties and application. *Top. Enzyme Ferment. Biotechnol.*, **8**, 9 (1984)
- Hancock, J. G. : Hemicellulose degradation in sunflower hypocotyls infected with *Sclerotiorum*. *Phytopathology*, **57**, 203(1967)
- Van Etten, H. D. and Bateman, D. F. : Enzymatic degradation of galactan, galactomannan and xylan by *Sclerotium rolfsii*. *Phytopathology*, **59**, 968(1969)
- Mullen, J. M. and Bateman, D. F. : Polysaccharide degrading enzymes produced by *Fusarium roseum* 'Avenaceum' in cultures and during pathogenesis. *Physiological Plant Pathology*, **6**, 233(1975)
- Viikari, L., Kantelinen, A., Ratto, M. and Sundquist, J. : In ACS Symp. Ser. 460 : Leatham, G. E. and Himmel, E. M.(eds.), American Chemical Society, Washington DC.(1990)
- 박석규, 문일식, 성낙계 : β -Glucosidase를 생산하는 균주의 분리 및 조효소의 특성. 산업미생물학회지, **21**, 440(1993)
- Mandels, M. and Reese, E. T. : Induction of cellulase in *Trichoderma viride* as influenced by carbon sources and metal. *J. Bacteriol.*, **73**, 269(1957)
- Miller, G. L. : Use of dinitrosalicylic acid reagent for determination of reducing sugar. *Anal. Chem.*, **31**, 426 (1956)
- Lowry, O. H., Resebrough, N. J., Farr, A. L. and Randall, R. J. : Protein estimation with the folin phenol reagent. *J. Biol. Chem.*, **193**, 265(1951)
- Laemmli, U. K. : Cleavage of structural proteins during the assembly of the head of bacteriophage T4. *Nature*, **227**, 680(1970)
- 배성호, 최용진 : *Bacillus stearothermophilus*가 생산하는 xylanase의 정제 및 특성. 산업미생물학회지, **19**, 592(1991)
- Pelttonen, S., Karjalainen, R. and Niku-Paavola, M. L. : Purification and characterization of xylanase from *Bipolaris sorokiniana*. *Mycological Research*, **98**, 67 (1994)
- Li, X. L., Zhang, Z. Q., Jeffrey, F. D. D., Karl-Erik, L. E. and Lars, G. L. : Purification and characterization of a new xylanase(APX-II) from the fungus *Aureobasidium pullulans* Y-2311-1. *Applied and Environmental Microbiology*, **59**, 3212(1993)

18. Braun, E. J. and Rodrigues, C. A. : Purification and properties of an endoxylanase from a corn stalk rot strain of *Erwinia chrysanthemi*. *Phytopathology*, **83**, 322(1993)
19. 조남철, 권수진, 김강화, 정기철 : *Penicillium verruculosum*-으로부터 D-xylanase의 정체 및 특성. *한국생화학회지*, **25**, 670(1992)
20. Morales, P., Madarro, A., Perez-Gonzalez, J. A., Sendra, J. M., Pinaga, J. M. F. and Flors, A. : Purification and characterization of alkaline xylanase from *Bacillus Polymyxa Applied and Environmental Microbiology*, **59**, 1376(1993)
21. 김원곤, 이찬용, 이계호 : *Bacillus* sp. N-25가 생산하는 xylanase의 특성. *산업미생물학회지*, **20**, 559(1992)
22. Park, Y. S., Yum, D. Y., Hahm, B. K., Bai, D. H. and Yu, J. H. : Purification, characterization and chemical modification of the xylanase from alkali-tolerant *Bacillus* sp. YA-14. *J. Microbiol. Biotech.*, **4**, 41(1994)

(1996년 5월 24일 접수)